



การอบแห้งเนื้อปลาด้วยไอน้ำร้อนบخارด้วยร่วมกับอากาศร้อน Drying of Ground Fish Slices Using Superheated Steam Combined with Hot Air

คุณกริช ภัลย่างาม¹ ภูมิใจ สะอาดโถม^{2*} และ ชนิต สวัสดีสวี³

¹นักศึกษา “อาจารย์ สาขาวิชาชีวกรรมเครื่องกล คณะวิศวกรรมศาสตร์ มหาวิทยาลัยเทคโนโลยีราชมงคลล้านนา จังหวัดเชียงใหม่ 63000

²ผู้ช่วยศาสตราจารย์ สาขาวิชาเทคโนโลยีอุณหภพ คณะพลังงานลึงแวดล้อมและวัสดุ มหาวิทยาลัยเทคโนโลยีพระจอมเกล้าธนบุรี กรุงเทพฯ 10140

บทคัดย่อ

งานวิจัยนี้มีวัตถุประสงค์เพื่อศึกษาการเปลี่ยนแปลงความชื้นของเนื้อปลาด้วยไอน้ำร้อนบخارด้วยร่วมกับอากาศร้อน และเปรียบเทียบสมบัติทางกายภาพของเนื้อปลาด้วยที่ได้หลังการอบแห้งทางด้านสี ความแข็ง ความเหนียว การหดตัว รวมทั้งประเมินคุณภาพทางประสานกลิ่นผัลส์ วิธีการอบแห้งเนื้อปลาด้วยไอน้ำร้อนมี 2 วิธี วิธีที่ 1 เป็นการอบแห้งด้วยไอน้ำร้อนบخارด้วยที่ 140 °C ตามด้วยอากาศร้อนที่ 110 °C (SSD+HAD) และวิธีที่ 2 เป็นการอบแห้งด้วยอากาศร้อนที่ 110 °C ตามด้วยไอน้ำร้อนบخارด้วยที่ 220 °C และอากาศร้อนที่ 110 °C (HAD+SSD+HAD) โดยเนื้อปลาด้วยไอน้ำร้อนบخارด้วยมีขนาด 50x50x1.3 และ 50x50x2.2 (กว้างxยาวxหนา) มม. ทั้งนี้เนื้อปลาด้วยไอน้ำร้อนบخارด้วยมีความชื้นเริ่มต้นประมาณ 205-215 เปอร์เซ็นต์มาตรฐานแห้ง ถูกอบแห้งจนเหลือความชื้นสุดท้ายประมาณ 20 เปอร์เซ็นต์ มาตรฐานแห้ง จากผลการทดลอง พบว่า เนื้อปลาด้วยไอน้ำร้อนบخارด้วย 1.3 มม. ใช้เวลาอบแห้งน้อยกว่าเนื้อปลาด้วยไอน้ำร้อนบخارด้วย 2.2 มม. เนื้อปลาด้วยไอน้ำร้อนบخارด้วย SSD+HAD และ HAD+SSD+HAD ใช้เวลาอบแห้งใกล้เคียงกัน ส่วนคุณภาพของเนื้อปลาด้วยไอน้ำร้อนบخارด้วย พบว่า ความสว่างมีค่าลดลงแต่ความแข็ง ความเหนียว และเปอร์เซ็นต์การหดตัวมีค่าเพิ่มขึ้นเมื่อความหนาของเนื้อปลาด้วยไอน้ำร้อนบخارด้วยที่ 220 °C และ 110 °C (HAD+SSD+HAD) มีความสว่างความแข็ง และความเหนียวมากกว่า แต่มีเปอร์เซ็นต์การหดตัวน้อยกว่าเนื้อปลาด้วย HAD+SSD+HAD นอกจากนี้ยังพบว่า เนื้อปลาด้วยไอน้ำร้อนบخارด้วย HAD+SSD+HAD ได้รับคะแนนคุณลักษณะทางประสานกลิ่นผัลส์มากที่สุด

Abstract

The objectives of this research were to study the changes in the moisture of ground fish slices during drying with superheated steam combined with hot air, and to compare the physical properties (in terms of color, hardness, toughness and shrinkage) as well as sensory evaluation of dried fish slices. Two drying methods were performed (i.e., superheated steam drying at 140 °C combined with hot air drying at 110 °C (SSD+HAD), and hot air drying at 110 °C combined with superheated steam drying at 220 °C and hot air drying at 110 °C (HAD+SSD+HAD)). The ground fish samples were produced at sizes of 50x50x1.3 and 50x50x2.2 mm (WDH). The samples with the initial moisture content of around 205-215% dry basis were dried until the final moisture content of about 20% dry basis. Results showed that the samples with 1.3 mm thickness had shorter drying times than those with 2.2 mm thickness. The samples dried by SSD+HAD and HAD+SSD+HAD were similar in the drying time. In term of qualities, it was seen that the lightness of dried samples decreased, but the hardness, toughness, and shrinkage percentage of dried samples increased when the samples thickness increased. Dried samples obtained from SSD+HAD had higher lightness, hardness and toughness, but had lower percentage of shrinkage than those obtained from HAD+SSD+HAD. Moreover, it was found that dried samples obtained from HAD+SSD+HAD had the highest sensory scores.

คำสำคัญ : การอบแห้งด้วยอากาศร้อน การอบแห้งด้วยไอน้ำร้อนบخارด้วย เนื้อปลาด้วยไอน้ำร้อนบخارด้วย

Keywords : Ground Fish Slices, Hot Air Drying, Superheated Steam Drying

1. บทนำ

ปลาเป็นอาหารที่คนไทยนิยมบริโภคเนื่องจากเนื้อปลา มีสารอาหารที่ดี มีโปรตีนสูง และไขมันต่ำ ปราศจากไขมันทรานส์ ไม่มีไขมันทรานส์มาก ทำให้สามารถนำไปปรุงรักษาได้หลายชนิด ปลาจึงเป็นอาหารที่มีคุณค่าทางโภชนาการสูง ประเทศไทยมีการนำปลาไปใช้ในการเสริมสร้างเนื้อเยื่อและซ่อมแซมส่วนต่างๆ ของร่างกายที่สึกหรือไขมันที่มีอยู่ในเนื้อปลา เป็นส่วนประกอบของเซลล์ต่างๆ โดยเฉพาะสมอง วิตามินและแร่ธาตุที่อยู่ในเนื้อปลาช่วยควบคุมการทำงานของร่างกายให้ทำงานได้ตามปกติ (สำนักโภชนาการ กรมอนามัย, 2556) ในปี พ.ศ. 2555 ประเทศไทยมีปริมาณการนำเข้าปลาและผลิตภัณฑ์จากปลา 1,496,722 ตัน คิดเป็นมูลค่า 85,369 ล้านบาทและมีปริมาณการส่งออกปลาและผลิตภัณฑ์จากปลา 1,174,831 ตัน คิดเป็นมูลค่า 131,553 ล้านบาท (สำนักงานเศรษฐกิจการเกษตร, 2556) ในบางครั้งเนื้อปลา มีมากเกินความต้องการบริโภค ดังนั้น จึงต้องถอนอาหารหรือแปรรูปเนื้อปลาด้วยวิธีการต่างๆ เพื่อช่วยยืดระยะเวลาในการเก็บรักษาและทำให้คุณภาพของผลิตภัณฑ์รวมทั้งคุณค่าทางอาหารไม่สูญเสียไป การแปรรูปเนื้อปลาให้เป็นเนื้อปลา บด แผ่นอบแห้ง กำลังได้รับความสนใจในปัจจุบัน เนื่องจากเป็นชนิดของอาหารที่ไม่ต้องใช้น้ำมัน (ไม่ต้องใช้น้ำมันทอด) ซึ่งมีประโยชน์ต่อร่างกายของผู้บริโภค นอกจากนี้ ผลิตภัณฑ์ดังกล่าวก็ยังสามารถเก็บรักษาไว้ได้นาน

การอบแห้งเป็นกระบวนการหนึ่งในการถอนอาหารและช่วยเพิ่มมูลค่าของอาหาร การอบแห้งเนื้อปลาในปัจจุบันนิยมอบแห้งด้วยอากาศร้อนซึ่งทำให้ระยะเวลาการอบแห้งลดลงกว่า

การตากแดดตามธรรมชาติแต่การอบแห้งด้วยอากาศร้อนที่อุณหภูมิสูง ๆ และใช้ระยะเวลาการอบแห้งที่ยาวนานส่งผลให้คุณภาพของผลิตภัณฑ์สูญเสียไป (สุดาทิพย์ คงขำ, 2549) ด้วยเหตุนี้จึงมีแนวคิดในการนำไอน้ำร้อนนวดยิ่ง (Superheated Steam) มาใช้เป็นตัวกลางในการอบแห้งแทนอากาศร้อน

การอบแห้งด้วยไอน้ำร้อนนวดยิ่งเป็นการอบแห้งที่ใช้ไอน้ำที่มีอุณหภูมิสูงกว่าอุณหภูมิอิ่มตัว (Saturation Temperature) ที่ความดันล้มบูรณาในห้องอบแห้งซึ่งใช้ระยะเวลาการอบแห้งที่น้อยกว่าการอบแห้งด้วยอากาศร้อน แต่การอบแห้งด้วยไอน้ำร้อนนวดยิ่งเพียงอย่างเดียวเป็นเวลานานทำให้คุณภาพของผลิตภัณฑ์อบแห้งทางด้านสีไม่ค่อยดี (วันชลล พึ่งพงศา, 2549; ภูมิใจ สถาโนม และคณะ, 2556) การอบแห้งผลิตภัณฑ์ด้วยไอน้ำร้อนนวดยิ่งร่วมกับอากาศร้อนเป็นวิธีการหนึ่งที่ช่วยแก้ปัญหาดังกล่าวได้ เนื่องจากในช่วงของการอบแห้งด้วยอากาศร้อนใช้อุณหภูมิต่ำกว่าในช่วงของการอบแห้งด้วยไอน้ำร้อนนวดยิ่งซึ่งทำให้คุณภาพของผลิตภัณฑ์อบแห้งทางด้านสีดีขึ้น งานวิจัยที่เกี่ยวข้องกับการอบแห้งเนื้อสัตว์ด้วยไอน้ำร้อนนวดยิ่งร่วมกับอากาศร้อน ได้แก่ การอบแห้งเนื้อหมู (รณรงค์ อึ้งกิมบวน, 2544; วันชลล พึ่งพงศา, 2549; Sa-adchom, 2010) และการอบแห้งเนื้อไก่ (สุดาทิพย์ คงขำ, 2549; Nathakaranakule et al., 2007) อย่างไรก็ตาม จากการวิจัยของ Sa-adchom (2010) พบว่า หมูแผ่นที่อบแห้งด้วยไอน้ำร้อนนวดยิ่งตามด้วยอากาศร้อนมีความกรอบและการพอตัวที่น้อย ทำให้คุณภาพนุ่มลักษณะทางประสาทสัมผัสที่ได้ไม่ค่อยดี ดังนั้น การอบแห้งที่อุณหภูมิสูง ๆ เป็นระยะเวลาล้านๆ (เทคโนโลยีพัฒนา) จึงเป็นแนวทางหนึ่งที่ช่วยแก้ปัญหาได้ เนื่องจาก



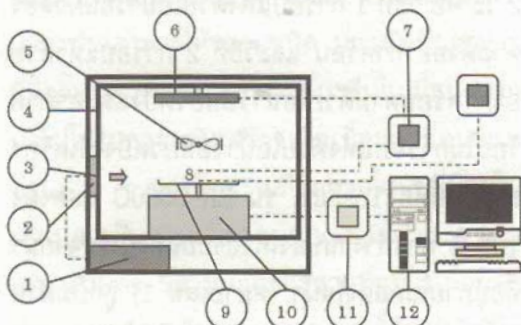
วิธีการนี้ทำให้น้ำในอาหารเกิดการระเหยอย่างรวดเร็วจึงเกิดแรงดันไอน้ำกระทำต่ออาหาร ผลให้อาหารมีความพรุนสูงและพองตัวมากขึ้น (สุรพิชญ์ ทับเที่ยง และคณะ, 2554) งานวิจัยที่เกี่ยวข้องกับการอบแห้งเนื้อสัตว์ด้วยเทคนิคพัฟฟิ่งได้แก่ Sa-adchom (2010) ได้อบแห้งหมูแผ่นด้วยเทคนิคแบบสามขั้นตอน 2 วิธี คือ วิธีที่ 1 เป็นการอบแห้งด้วยไอน้ำร้อนiyd ying (140 °C) ตามด้วยอากาศร้อน (180 °C) และอากาศร้อน (110 °C) และวิธีที่ 2 เป็นการอบแห้งด้วยอากาศร้อน (140 °C) ตามด้วยอากาศร้อน (180 °C) และอากาศร้อน (110 °C) ซึ่งพบว่า คะแนนคุณลักษณะทางประสิทธิภาพกลับผัสดของหมูแผ่นอบแห้งดีขึ้นเมื่อเทียบกับการอบแห้งด้วยเทคนิคแบบสองขั้นตอน (ไอน้ำร้อนiyd ying (140 °C) ตามด้วยอากาศร้อน (110 °C)) ทั้งนี้หากพัฟฟิ่งด้วยไอน้ำร้อนiyd ying อาจจะทำให้หมูแผ่นมีความพรุนและการพองตัวมากกว่านี้ เนื่องจากไอน้ำร้อนiyd ying มีค่าสัมประสิทธิ์การถ่ายเทความร้อนที่สูง (Sa-adchom, 2010) จากข้อดีของการอบแห้งด้วยเทคนิคแบบหลายขั้นตอนและแนวทางการศึกษาของงานวิจัยต่าง ๆ ตามที่กล่าวมาแล้วข้างต้น ดังนั้น งานวิจัยนี้จึงศึกษาการเปลี่ยนแปลงความซึ้นของเนื้อปลาบดแผ่นระหว่างการอบแห้งด้วยเทคนิคแบบหลายขั้นตอนได้แก่ วิธีที่ 1 การอบแห้งด้วยไอน้ำร้อนiyd ying (140 °C) ตามด้วยอากาศร้อน (110 °C) และวิธีที่ 2 การอบแห้งด้วยอากาศร้อน (110 °C) ตามด้วยไอน้ำร้อนiyd ying (220 °C) และอากาศร้อน (110 °C) และเปรียบเทียบสมบัติทางกายภาพของเนื้อปลาบดแผ่นที่ได้หลังการอบแห้งทางด้านสี ความแข็ง ความเหนียว การหดตัว และประเมินคุณภาพทางด้านประสิทธิภาพ

2. วิธีการทดลอง

2.1 อุปกรณ์ที่ใช้ในการทดลอง

การอบแห้งเนื้อปลาบดแผ่นในงานวิจัยนี้มี 2 วิธี คือ วิธีที่ 1 การอบแห้งด้วยไอน้ำร้อนiyd ying ตามด้วยอากาศร้อน และวิธีที่ 2 การอบแห้งด้วยอากาศร้อนตามด้วยไอน้ำร้อนiyd ying และอากาศร้อนในการอบแห้งด้วยไอน้ำร้อนiyd ying ใช้เครื่องอบแห้งยี่ห้อ Toshiba รุ่น ER-D300C แสดงดังรูปที่ 1 การทำงานของเครื่องอบแห้งนี้เริ่มจากน้ำที่อยู่ภายในกล่องใส่น้ำ (หมายเลข 1) ถูกปั๊มผ่านตัวทำความร้อน (หมายเลข 2) เพื่อให้น้ำกลายเป็นไอน้ำร้อนiyd ying และจึงถูกปล่อยผ่านช่องปล่อย (หมายเลข 3) เข้าสู่ภายในห้องอบแห้ง (หมายเลข 4) ซึ่งมีขนาดภายใน 40x30.5x45.5 (กว้างxยาวxสูง) ซม. ไอน้ำร้อนiyd ying ถูกหมุนเวียนอยู่ภายในเครื่องอบแห้งด้วยพัดลมขนาดประมาณ 45 วัตต์ (หมายเลข 5) และมีช่องระบายไอน้ำร้อนiyd ying อยู่ทางด้านซ้ายด้านขวา และด้านหลังของตัวเครื่องอบแห้ง ทั้งนี้เพื่อการควบคุมอุณหภูมิไอน้ำร้อนiyd ying ภายในห้องอบแห้งให้มีความเที่ยงตรง จึงได้ติดตั้งตัวทำความร้อนเริ่มขนาด 2,000 วัตต์ (หมายเลข 6) ที่ผนังด้านบนของห้องอบแห้ง โดยควบคุมอุณหภูมิไอน้ำร้อนiyd ying ด้วยเครื่องควบคุมอุณหภูมิแบบ PID ยี่ห้อ Toho รุ่น TTM-004 (หมายเลข 7) มีความถูกต้อง ±1 °C ตำแหน่งที่ควบคุมอุณหภูมิไอน้ำร้อนiyd ying อยู่เหนือผลิตภัณฑ์ 3 ซม. โดยใช้เทอร์โมคัปเบลชนิด K (หมายเลข 8) เป็นตัววัดอุณหภูมิ นอกจากนี้ ถ้าด้านหลังบัวว่างผลิตภัณฑ์ (หมายเลข 9) มีขนาด 20x20 ซม. น้ำหนักของผลิตภัณฑ์จะครอบแห้งถูกวัดโดยใช้ໂโหลดเซลล์พิกัด 5 กก. รุ่น 603 (หมายเลข 10) ต่อเข้ากับเครื่องวัดน้ำหนักรุ่น AD-4329 (หมายเลข

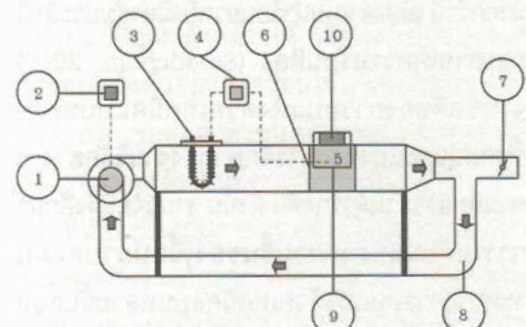
11) มีความละเอียด 1 กรัม และต่อเข้ากับเครื่องคอมพิวเตอร์ (หมายเลข 12) ทั้งนี้เครื่องอบแห้งสามารถผลิตไอน้ำร้อนนวดยิ่งได้ประมาณ 0.5 กก. ต่อ ชม.



รูปที่ 1 เครื่องอบแห้งด้วยไอน้ำร้อนนวดยิ่ง โดยที่ (1) กล่องใส่น้ำ (2) ตัวทำความร้อน (3) ช่องปล่อยไอน้ำร้อนนวดยิ่ง (4) ห้องอบแห้ง (5) พัดลม (6) ตัวทำความร้อน (7) เครื่องควบคุมอุณหภูมิ (8) เทอร์โมคัปเปิล (9) ถุงสำหรับวางผลิตภัณฑ์ (10) โหลดเซลล์ (11) เครื่องวัดน้ำหนัก และ (12) เครื่องคอมพิวเตอร์

การอบแห้งด้วยอากาศร้อนใช้เครื่องอบแห้งแสดงดังรูปที่ 2 การทำงานของเครื่องอบแห้งนี้เริ่มจากอากาศภายในออกถูกดูดผ่านเข้ามาในตัวเครื่องอบแห้งโดยพัดลมชนิดแรงเหวี่ยงคงที่ (หมายเลข 1) ที่ขับเคลื่อนด้วยมอเตอร์ยี่ห้อ Toshiba รุ่น IK ขนาด 746 วัตต์ และควบคุมด้วยเครื่องปรับความเร็วรอบของมอเตอร์ยี่ห้อ Pan Drives (หมายเลข 2) จากนั้นอากาศเคลื่อนที่ผ่านตัวทำความร้อนขนาด 5,000 วัตต์ (หมายเลข 3) ซึ่งควบคุมด้วยเครื่องควบคุมอุณหภูมิแบบ PID ยี่ห้อ Toho รุ่น TTM-004 (หมายเลข 4) มีความถูกต้อง $\pm 1^\circ\text{C}$ ตำแหน่งที่ควบคุมอุณหภูมิอากาศร้อนอยู่หนึ่งอุปกรณ์ผลิตภัณฑ์ 3 ซม. โดยมีเทอร์โมคัปเปิล

ชนิด K (หมายเลข 5) เป็นตัววัดอุณหภูมิ จากนั้นอากาศร้อนเคลื่อนที่เข้าสู่ห้องอบแห้ง (หมายเลข 6) ซึ่งมีขนาด $35 \times 35 \times 35$ (กว้างxยาวxสูง) ซม. และเคลื่อนที่ออกจากห้องอบแห้งเข้าสู่ท่อน้ำด้านล่างผ่านคุณย์กลาง 4 นิ้วแล้วจึงระบายอากาศร้อนที่ไปประมาณ 20% ด้วยวาล์วปีกฟีล์ (หมายเลข 7) ส่วนอากาศร้อนที่เหลือประมาณ 80% ถูกนำกลับมาใช้ใหม่ด้วยท่อลมร้อนย้อนกลับ (หมายเลข 8) ทั้งนี้ถ้าดึงสายรับวางผลิตภัณฑ์ (หมายเลข 9) มีขนาด 25×25 (กว้างxยาว) ซม. และน้ำหนักของผลิตภัณฑ์จะถูกดูดโดยเครื่องชั่งน้ำหนักยี่ห้อ HUAJIE รุ่น DJ-1002C (หมายเลข 10) มีความละเอียด 0.01 กรัม นอกจากนี้ ความเร็วและอุณหภูมิของอากาศภายในห้องอบแห้งควบคุมที่ 0.3 เมตรต่อวินาทีและ 110°C ตามลำดับ และมีการทุบฉนวนไข้แก้วตลอดความยาวของเครื่องอบแห้ง



รูปที่ 2 เครื่องอบแห้งด้วยอากาศร้อน โดยที่ (1) พัดลมชนิดแรงเหวี่ยงคงที่ (2) เครื่องปรับความเร็วรอบของมอเตอร์ (3) ตัวทำความร้อน (4) เครื่องควบคุมอุณหภูมิ (5) เทอร์โมคัปเปิล (6) ห้องอบแห้ง (7) วาล์วปีกฟีล์ (8) ท่อลมร้อนย้อนกลับ (9) ถุงสำหรับวางผลิตภัณฑ์ (10) เครื่องชั่งน้ำหนัก



2.2 การเตรียมตัวอย่าง

นำเนื้อปลาในสัด mata ตามยาวให้เป็นแผ่นบาง ๆ และล้างด้วยน้ำเกลือ 0.3% (เกลือ 0.3 กรัม ต่อน้ำ 100 มล.) แล้วนำขึ้นมาให้สะเด็ดน้ำ จากนั้นบดเนื้อปลาให้ละเอียดด้วยเครื่องบดปืนยีห้อ Tesco รุ่น HB988L เป็นเวลา 1 นาที แล้วนำเนื้อปลาบดผสมกับส่วนผสมต่าง ๆ ในอัตราส่วนของเนื้อปลาบด 71% น้ำตาลทราย 17% น้ำ 7.1% ซิอิ๊วขาว 4.3% และเกลือป่น 0.6% โดยนำหนักและป่นผสมรวมกันเป็นเวลา 1 นาที จากนั้นนำเนื้อปลาที่เตรียมไว้บรรจุลงในถุงโพลีเอทิลีน (Polyethylene) แล้วรีดให้เป็นแผ่นขนาด 50x50 (กว้างxยาว) มม. หนา 1.3 และ 2.2 มม. ด้วยเครื่องรีดยีห้อ Hope Win รุ่น HP-180F และเก็บไว้ที่อุณหภูมิห้องเป็นเวลา 30 นาทีก่อนการอบแห้ง ทั้งนี้เนื้อปลาบดแผ่นมีความชื้นเริ่มต้นประมาณ 205-215 เปอร์เซ็นต์มาตรฐานแห้ง

2.3 วิธีการทดสอบ

การทดลองแบ่งเป็น 2 วิธี คือ วิธีที่ 1 การอบแห้งด้วยไอน้ำร้อนiyd ying ตามด้วยอากาศร้อนโดยอบแห้งเนื้อปลาบดแผ่นด้วยไอน้ำร้อนiyd ying ที่อุณหภูมิ 140 °C จนเนื้อปลาบดแผ่นมีความชื้นประมาณ 40-50 เปอร์เซ็นต์มาตรฐานแห้ง และอบแห้งต่อด้วยอากาศร้อนที่อุณหภูมิ 110 °C จนเนื้อปลาบดแผ่นมีความชื้นประมาณ 20 เปอร์เซ็นต์มาตรฐานแห้ง และวิธีที่ 2 การอบแห้งด้วยอากาศร้อนตามด้วยไอน้ำร้อนiyd ying และอากาศร้อนโดยอบแห้งเนื้อปลาบดแผ่นด้วยอากาศร้อนที่อุณหภูมิ 110 °C จนเนื้อปลาบดแผ่นมีความชื้นประมาณ 95-105 เปอร์เซ็นต์มาตรฐานแห้ง และอบแห้งต่อด้วยไอน้ำร้อนiyd ying ที่อุณหภูมิ 220 °C (เนื้อปลาบดแผ่นหนา 1.3 มม. ใช้เวลาอบ

แห้ง 40 วินาที ส่วนเนื้อปลาบดแผ่นหนา 2.2 มม. ใช้เวลาอบแห้ง 60 วินาที เนื่องจากหากใช้เวลาอบแห้งนานกว่าเวลาดังกล่าวข้างต้นแล้วทำให้ผิวของผลิตภัณฑ์เริ่มเกิดการไหม้ โดยเฉพาะอย่างยิ่งบริเวณขอบของผลิตภัณฑ์) จากนั้นอบแห้งต่อด้วยอากาศร้อนที่อุณหภูมิ 110 °C จนเนื้อปลาบดแผ่นมีความชื้นประมาณ 20 เปอร์เซ็นต์มาตรฐานแห้ง ทั้งนี้เนื้อปลาบดแผ่นที่ผ่านการอบแห้งแล้วเก็บไว้ในถุงโพลีเอทิลีนและห่อด้วยกระดาษฟอลอยด์เพื่อไม่ให้ล้มผัลกับอากาศและหลังล้อมแล้วนำไปทดสอบสมบัติทางกายภาพทางด้านลี ความแข็ง ความเหนียว และการหดตัว

2.4 การหาปริมาณความชื้นของตัวอย่าง

การหาหนักแห้งของเนื้อปลาบดแผ่นทำได้โดยนำเนื้อปลาบดแผ่นไปอบในเตือนไฟฟ้าที่อุณหภูมิ 103 °C เป็นเวลา 72 ชม. จนน้ำหนักคงที่ (AOAC, 1995) โดยซึ่งน้ำหนักก่อนและหลังการอบแห้งแล้วนำค่าน้ำหนักที่ได้ไปคำนวณหาความชื้นของเนื้อปลาบดแผ่นที่เวลาได้ ๆ ได้ดังสมการ (คำศักดิ์ทีบุญมา และศักดิ์ชัย ใจจำ, 2553)

$$M = \left(\frac{W - D}{D} \right) \times 100\%$$

โดยที่ M คือ ความชื้นของเนื้อปลาบดแผ่นที่เวลาได้ ๆ (เปอร์เซ็นต์มาตรฐานแห้ง) W คือ น้ำหนักของเนื้อปลาบดแผ่นที่เวลาได้ ๆ (กг.) และ D คือ น้ำหนักแห้งของเนื้อปลาบดแผ่น (กг.)

2.5 การทดสอบคุณภาพของพลิตภัณฑ์

2.5.1 การทดสอบคุณภาพทางด้านลี ใช้เครื่องมือวัดลียีห้อ Minolta รุ่น CR-400 วัดที่

ผิวของเนื้อปลาบดแผ่นอบแห้งตามระบบ Hunter ซึ่งแสดงในเทอมของตัวแปร L_a และ b โดยค่า L แสดงค่าความสว่าง a และแสดงค่าสีแดงและสีเขียว และ b แสดงค่าสีเหลืองและน้ำเงินในการทดสอบใช้เนื้อปลาบดแผ่นอบแห้งจำนวน 5 ชิ้นต่อการทดสอบแต่ละครั้ง

2.5.2 การทดสอบคุณภาพด้านการทดสอบ ใช้เครื่องมือวัดพื้นที่ยึดห้อง Ushikata รุ่น X-PLAN 360C วัดพื้นที่ของเนื้อปลาบดแผ่นก่อนและหลังการอบแห้ง ทั้งนี้เปอร์เซ็นต์การทดสอบด้วยของเนื้อปลาบดแผ่นหลังจากอบแห้งคำนวณได้ดังสมการ

$$S = \left(1 - \left(\frac{A_{s,dried}}{A_{s,i}} \right) \right) \times 100$$

โดยที่ S คือ เปอร์เซ็นต์การทดสอบของเนื้อปลาบดแผ่นหลังจากอบแห้ง $A_{s,dried}$ คือ พื้นที่ของเนื้อปลาบดแผ่นหลังจากอบแห้ง (ตร.ซม.) $A_{s,i}$ คือ พื้นที่ของเนื้อปลาบดแผ่นก่อนการอบแห้ง (ตร.ซม.) ทั้งนี้การทดสอบใช้เนื้อปลาบดแผ่นอบแห้ง 5 ชิ้น ต่อหนึ่งตัวอย่างทดสอบ

2.5.3 การทดสอบคุณภาพทางด้านเนื้อสัมผัส (ความแข็งและความเหนียว) ใช้เครื่องวิเคราะห์เนื้อสัมผัลย์ห้อง Stable Micro Systems รุ่น TA-XT.Plus โดยความแข็งพิจารณาจากค่าแรงกดสูงสุด (Maximum Compressive Force) ที่กระทำต่อชิ้นเนื้อปลาบดแผ่นอบแห้งซึ่งหัวกดที่ใช้ทดสอบมีลักษณะเป็นทรงกระบอก (Cylinder) มีขนาดเส้นผ่านศูนย์กลาง 2 มม. มีความเร็วในการกด 1 มม./วินาที ส่วนความเหนียวพิจารณาจากค่าแรงเฉือนสูงสุด (Maximum Shear Force)

ที่กระทำต่อชิ้นเนื้อปลาบดแผ่นอบแห้งจนแตกออกจากกันซึ่งหัวตัดมีลักษณะเป็นใบมีดตัด (Guillotine Blade) มีความเร็วในการตัด 1 มม./วินาที การทดสอบใช้เนื้อปลาบดแผ่นอบแห้ง 5 ชิ้น ต่อตัวอย่าง

2.6 การประเมินคุณภาพของผลิตภัณฑ์ทางด้านประสิทธิภาพ

เนื้อปลาบดแผ่นอบแห้งที่ได้จากการวิจัยนี้ ถูกนำมาเปรียบเทียบคุณภาพทางด้านประสิทธิภาพ ล้มล้างกับเนื้อปลาบดแผ่นที่อบแห้งด้วยโอน้ำร้อน ยอดยิ่งเพียงอย่างเดียวที่ 140 °C (เนื้อปลาแผ่น บดอบแห้งในงานวิจัยของภูมิใจ สองโน้ม และคณะ, 2556) การประเมินคุณภาพทางด้านประสิทธิภาพ ล้มล้างใช้วิธี 9-point Hedonic Scale (Lawless and Heymann, 2010) โดยผู้ประเมิน คือ นักศึกษา คณะวิศวกรรมศาสตร์ มหาวิทยาลัยเทคโนโลยี ราชมงคลล้านนา ตาก จำนวน 50 คน แบบสอบถาม ในการทดสอบประจำรอบด้วยคำถาม 5 ข้อ ได้แก่ คุณลักษณะทางด้านลี ลักษณะปราภูมิ กลิ่น รส เนื้อสัมผัส (ความกรอบ) และความชอบโดยรวม

2.7 การวิเคราะห์ผลทางสถิติ

การทดสอบคุณภาพของผลิตภัณฑ์ทางด้านลี ความแข็ง ความเหนียว การทดสอบ และการประเมิน คุณภาพทางด้านประสิทธิภาพใช้โปรแกรม SPSS วิเคราะห์ผลทางสถิติแบบ ANOVA ที่ระดับความ เชื่อมั่นร้อยละ 95 และทดสอบความแตกต่างของ ค่าเฉลี่ยโดยใช้วิธี Duncan's Multiple Range Test (DMRT)



3. ผลการทดลองและวิเคราะห์ผล

3.1 ผลของวิธีการอบแห้งและความหนาของเนื้อปลาบดแผ่นต่อการเปลี่ยนแปลงความชื้นของเนื้อปลาบดแผ่น

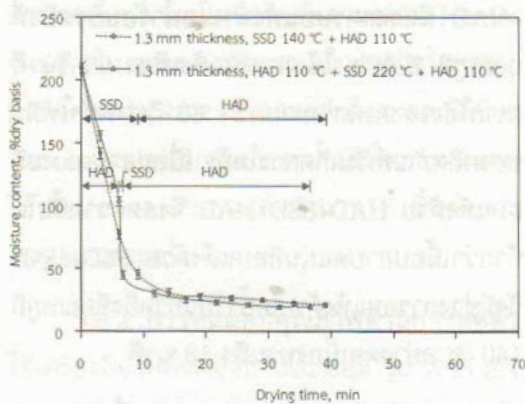
3.1.1 ผลของวิธีการอบแห้งต่อการเปลี่ยนแปลงความชื้นของเนื้อปลาบดแผ่น

การเปลี่ยนแปลงความชื้นของเนื้อปลาบดแผ่นระหว่างการอบแห้งด้วยไอน้ำร้อนยอดยิ่งตามด้วยอากาศร้อน (SSD+HAD) และการอบแห้งด้วยอากาศร้อนตามด้วยไอน้ำร้อนยอดยิ่งและอากาศร้อน (HAD+SSD+HAD) แสดงดังรูปที่ 3 พบว่า ที่ระดับความหนา 1.3 มม. (ดูรูปที่ 3 (ก)) เนื้อปลาบดแผ่นที่อบแห้งด้วย SSD+HAD และ HAD+SSD+HAD ใช้เวลาอบแห้ง 39 และ 36.67 นาที ตามลำดับ ซึ่งเห็นได้ว่าการอบแห้งด้วย SSD+HAD และ HAD+SSD+HAD ใช้เวลาอบแห้งใกล้เคียงกัน เนื่องจากการอบแห้งด้วย HAD+SSD+HAD มีช่วงการอบแห้งด้วยไอน้ำร้อนยอดยิ่งที่อุณหภูมิสูง (220°C) ทำให้น้ำในผลิตภัณฑ์เกิดการระเหยอย่างรวดเร็วส่วนการอบแห้งด้วย SSD+HAD มีช่วงการอบแห้งด้วยไอน้ำร้อนยอดยิ่งที่อุณหภูมิค่อนข้างสูง (140°C) อย่างต่อเนื่อง ทำให้น้ำในผลิตภัณฑ์เกิดการระเหยค่อนข้างรวดเร็ว อย่างไรก็ตาม ที่ระดับความหนา 2.2 มม. (ดูรูปที่ 3(ข)) พบว่า เนื้อปลาบดแผ่นที่อบแห้งด้วย SSD+HAD และ HAD+SSD+HAD ใช้เวลาอบแห้ง 63 และ 68 นาที ตามลำดับ ซึ่งเห็นได้ว่าการอบแห้งด้วย SSD+HAD ใช้เวลาอบแห้งสั้นกว่าการอบแห้งด้วย HAD+SSD+HAD เนื่องจากการอบแห้งด้วย HAD+SSD

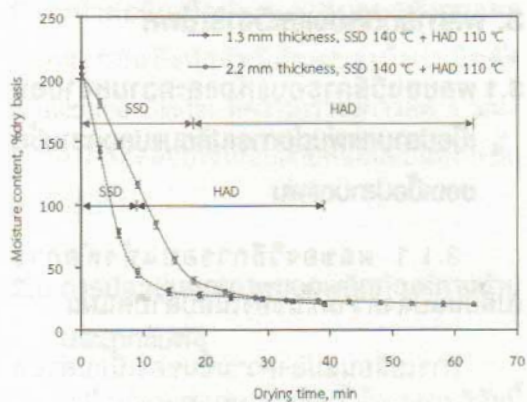
+HAD มีช่วงการอบแห้งด้วยไอน้ำร้อนยอดยิ่งที่อุณหภูมิ 220°C ใช้เวลาอบแห้งเพียง 60 วินาที (หากใช้เวลาอบแห้งมากกว่า 60 วินาทีทำให้ผิวของผลิตภัณฑ์เริ่มเกิดการไหม้) เนื้อปลาบดแผ่นที่อบแห้งด้วย HAD+SSD+HAD จึงลดความชื้นได้ช้ากว่าเนื้อปลาบดแผ่นที่อบแห้งด้วย SSD+HAD ซึ่งมีช่วงการอบแห้งด้วยไอน้ำร้อนยอดยิ่งที่อุณหภูมิ 140°C อย่างต่อเนื่องนานถึง 18 นาที

3.1.2 ผลของความหนาของเนื้อปลาบดแผ่นต่อการเปลี่ยนแปลงความชื้นของเนื้อปลาบดแผ่น

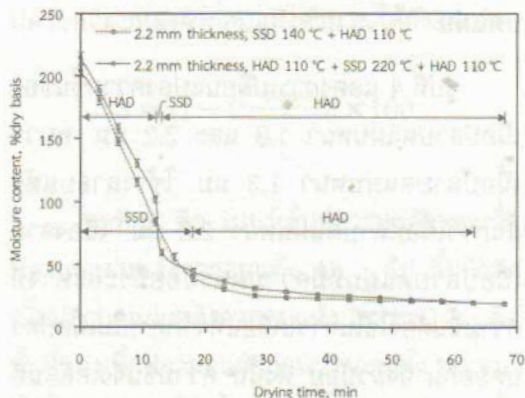
รูปที่ 4 แสดงการเปลี่ยนแปลงความชื้นของเนื้อปลาบดแผ่นหนา 1.3 และ 2.2 มม. พบร้า เนื้อปลาบดแผ่นหนา 1.3 มม. ใช้เวลาอบแห้งสั้นกว่าเนื้อปลาบดแผ่นหนา 2.2 มม. เนื่องจาก เนื้อปลาบดแผ่นที่มีความหนาน้อยมีระยะเวลาที่ความชื้นต้องใช้ในการเคลื่อนที่จากภายในเนื้อปลาบดออกมายังผิวน้อย ดังนั้น ความชื้นจึงเคลื่อนที่ออกจากเนื้อปลาบดแผ่นได้อย่างรวดเร็ว ทำให้ใช้เวลาอบแห้งที่น้อย ($\text{ภูมิใจ สadaดโධ และคณะ}, 2556$) ทั้งนี้การอบแห้งด้วยไอน้ำร้อนยอดยิ่งตามด้วยอากาศร้อน (SSD+HAD) (ดูรูปที่ 4(ก)) พบร้า เนื้อปลาบดแผ่นหนา 1.3 และ 2.2 มม. ใช้เวลาอบแห้ง 39 และ 63 นาที ตามลำดับ และ การอบแห้งด้วยอากาศร้อนตามด้วยไอน้ำร้อนยอดยิ่งและอากาศร้อน (HAD+SSD+HAD) (ดูรูปที่ 4(ข)) พบร้า เนื้อปลาบดแผ่นหนา 1.3 และ 2.2 มม. ใช้เวลาอบแห้ง 36.67 และ 68 นาที ตามลำดับ



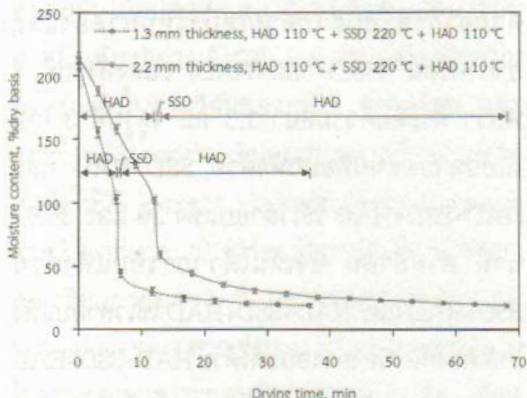
(ก)



(ก)



(ข)



(ข)

รูปที่ 3 การเปลี่ยนแปลงความชื้นของเนื้อปลาบดแห้ง
ระหว่างการอบแห้งด้วยไอน้ำร้อนiyd yingตาม
ด้วยอากาศร้อน (SSD+HAD) และการอบแห้ง
ด้วยอากาศร้อนตามด้วยไอน้ำร้อนiyd ying
และการร้อน (HAD+SSD+HAD) โดยที่
(ก) อบแห้งเนื้อปลาบดแห้งที่ความหนา
1.3 มม. และ (ข) อบแห้งเนื้อปลาบดแห้ง
ที่ความหนา 2.2 มม.

รูปที่ 4 การเปลี่ยนแปลงความชื้นของเนื้อปลาบด
แห้งหนา 1.3 และ 2.2 มม. โดยที่ (ก) อบแห้ง<sup>ด้วยไอน้ำร้อนiyd yingตามด้วยอากาศร้อน
(SSD+HAD) และ (ข) อบแห้งด้วยอากาศร้อน
ตามด้วยไอน้ำร้อนiyd ying และอากาศร้อน
(HAD+SSD+HAD)</sup>



3.2 การทดสอบคุณภาพของพลิตากันท์

3.2.1 คุณภาพทางด้านสี

ตารางที่ 1 แสดงผลการทดสอบคุณภาพทางด้านสีของเนื้อปลาบดแผ่นอบแห้ง ซึ่งพบว่า ที่ระดับความหนาเดียวกันเนื้อปลาบดแผ่นที่อบแห้งด้วยไอน้ำร้อน iyd ยิ่งตามด้วยอากาศร้อน (SSD+HAD) มีค่าความสว่าง (ค่า L) ค่าสีแดง (ค่า a) และค่าสีเหลือง (ค่า b) มากกว่าเนื้อปลาบดแผ่นที่อบแห้งด้วยอากาศร้อนตามด้วยไอน้ำร้อน iyd ยิ่งและอากาศร้อน (HAD+SSD+HAD) อย่างมีนัยสำคัญทางสถิติ ($P<0.05$) เนื่องจากการอบแห้งด้วย HAD+SSD+HAD มีช่วงการอบแห้งด้วยไอน้ำร้อน iyd ยิ่งที่อุณหภูมิสูงมาก (220°C) ทำให้เร่งการเกิดปฏิกิริยาเบนซ์ตาน (Browning

Reaction) ได้แก่ ปฏิกิริยาเมลาร์ด (Millard Reaction) ของน้ำตาลรีดิวชันกับโปรตีนและปฏิกิริยาカラเมไลเซชัน (Caramelization) จากน้ำตาล (วันชลี เพ็งพงศา, 2549) ซึ่งส่งผลให้เนื้อปลาบดแผ่นที่อบแห้งด้วย HAD+SSD+HAD มีผิวน้ำตาลเข้มมากกว่าเนื้อปลาบดแผ่นที่อบแห้งด้วย HAD+SSD นอกจากนี้ ยังพบว่า ที่วิธีการอบแห้งเดียวกัน เนื้อปลาบดแผ่นหนา 1.3 mm . มีค่าความสว่าง (ค่า L) และค่าสีเหลือง (ค่า b) มากกว่า แต่มีค่าสีแดง (ค่า a) น้อยกว่าเนื้อปลาบดแผ่นหนา 2.2 mm . อย่างมีนัยสำคัญทางสถิติ ($P<0.05$) เนื่องจากเนื้อปลาบดแผ่นหนา 2.2 mm . ใช้เวลาอบแห้งนานกว่า ทำให้เกิดปฏิกิริยาเมลาร์ดและปฏิกิริยาカラเมไลเซชันมากกว่าเนื้อปลาบดแผ่นหนา 1.3 mm .

ตารางที่ 1 ผลการทดสอบคุณภาพทางด้านสีของเนื้อปลาบดแผ่นหลังการอบแห้งที่สภาวะต่าง ๆ

วิธีการอบแห้ง	ความหนา เนื้อปลา (mm.)	สี		
		ค่า L	ค่า a	ค่า b
ไอน้ำร้อน iyd ที่ 140°C + อากาศร้อนที่ 110°C (SSD+HAD)	1.3	$50.4 \pm 30.81^{\text{d}}$	$15.28 \pm 0.95^{\text{c}}$	$23.45 \pm 1.15^{\text{d}}$
	2.2	$40.71 \pm 1.34^{\text{b}}$	$19.53 \pm 1.08^{\text{d}}$	$16.39 \pm 1.02^{\text{b}}$
อากาศร้อนที่ 110°C + ไอน้ำร้อน iyd ที่ 220°C + อากาศร้อนที่ 110°C (HAD+SSD+HAD)	1.3	$46.21 \pm 1.28^{\text{c}}$	$10.29 \pm 0.88^{\text{a}}$	$19.54 \pm 1.16^{\text{c}}$
	2.2	$38.57 \pm 1.06^{\text{a}}$	$13.22 \pm 1.28^{\text{b}}$	$14.52 \pm 0.93^{\text{a}}$

หมายเหตุ อักษรต่างกันในคอลัมน์เดียวกันให้ความแตกต่างกันอย่างมีนัยสำคัญที่ระดับความเชื่อมั่น $95\% (P<0.05)$

3.2.2 คุณภาพทางด้านความแข็ง ความเหนียว และการทดสอบตัว

ผลการทดสอบคุณภาพทางด้านความแข็ง ความเหนียว และการทดสอบตัวของเนื้อปลาบดแผ่นอบแห้งแสดงดังตารางที่ 2 ซึ่งพบว่า ที่ระดับความหนา 2.2 mm . เนื้อปลาบดแผ่นที่อบแห้งด้วยไอน้ำร้อน iyd ยิ่งตามด้วยอากาศร้อน (SSD+HAD)

มีความแข็งและความเหนียวมากกว่าเนื้อปลาบดแผ่นที่อบแห้งด้วยอากาศร้อนตามด้วยไอน้ำร้อน iyd ยิ่งและอากาศร้อน (HAD+SSD+HAD) อย่างมีนัยสำคัญทางสถิติ ($P<0.05$) เนื่องจากการอบแห้งด้วย HAD+SSD+HAD ทำให้เนื้อปลาบดแผ่นอบแห้งมีความพรุนและพองตัวมากกว่า (จากการลังเกต) เมื่อทดสอบความแข็งและ

ความเห็นiyวตามหัวข้อที่ 2.5.3 เนื้อปลาบดแผ่นที่อบแห้งด้วย HAD+SSD+HAD จึงแตกหรือแยกออกได้ง่ายกว่าเนื้อปลาบดแผ่นที่อบแห้งด้วย SSD+HAD อย่างไรก็ตาม ที่ระดับความหนา 1.3 มม. ความแข็งและความเห็นiyของเนื้อปลาบดแผ่นที่อบแห้งด้วย SSD+HAD และ HAD+SSD+HAD นี้ไม่มีความแตกต่างกันอย่างมีนัยสำคัญทางสถิติ ($P<0.05$) และพบว่า ที่ระดับความหนาเดียวกัน เนื้อปลาบดแผ่นที่อบแห้งด้วย SSD+HAD มีเปอร์เซ็นต์การหดตัวน้อยกว่าเนื้อปลาบดแผ่นที่อบแห้งด้วย HAD+SSD+HAD อย่างมีนัยสำคัญทางสถิติ ($P<0.05$) เนื่องจากการอบแห้งด้วย HAD+SSD+HAD มีช่วงการอบแห้งด้วยไอน้ำร้อน

ตารางที่ 2 ผลการหดสูญคุณภาพทางด้านความแข็ง ความเห็นiy และการหดตัวของเนื้อปลาบดแผ่นหลังการอบแห้งที่สภาวะต่าง ๆ

วิธีการอบแห้ง	ความหนา เนื้อปลา (มม.)	ความแข็ง (นิวตัน)	ความเห็นiy (นิวตัน)	การหดตัว (%)
ไอน้ำร้อนiyดยิ่งที่ 140 °ซ + อากาศร้อนที่ 110 °ซ (SSD+HAD)	1.3	3.08 ± 0.19^a	4.16 ± 0.98^a	13.29 ± 1.19^a
	2.2	13.89 ± 0.74^c	14.28 ± 2.54^c	22.18 ± 1.34^c
อากาศร้อนที่ 110 °ซ + ไอน้ำร้อนiyดยิ่งที่ 220 °ซ + อากาศร้อนที่ 110 °ซ (HAD+SSD+HAD)	1.3	3.25 ± 0.33^a	4.96 ± 0.89^a	17.97 ± 1.22^b
	2.2	7.53 ± 0.53^b	7.79 ± 3.21^b	27.65 ± 1.48^d

หมายเหตุ อักษรต่างกันในคอลัมน์เดียวกันให้ความแตกต่างกันอย่างมีนัยสำคัญที่ระดับความเชื่อมั่น 95% ($P<0.05$)

3.2.3 การประเมินคุณภาพของผลิตภัณฑ์ทางด้านประสิทธิภาพ

ตารางที่ 3 แสดงผลการประเมินคุณภาพทางด้านประสิทธิภาพของเนื้อปลาบดแผ่นอบแห้ง ซึ่งพบว่า เนื้อปลาบดแผ่นที่อบแห้งด้วยอากาศร้อน ตามด้วยไอน้ำร้อนiyดยิ่ง และอากาศร้อน (HAD+SSD+HAD) มีคะแนนทางด้านลักษณะ pragmatic เนื้อล้มผัล (ความกรอบ) และความชอบโดยรวมมากกว่าเนื้อปลาบดแผ่นที่อบแห้งด้วยไอน้ำร้อนiyดยิ่งเพียงอย่างเดียว (SSD) อย่างมีนัยสำคัญทางสถิติ ($P<0.05$)

iyดยิ่งที่อุณหภูมิสูง (220 °ซ) จึงทำให้ผลิตภัณฑ์เกิดการหดตัวอย่างรวดเร็ว นอกจากนี้ ยังพบว่า ที่ระดับความหนา 1.3 มม. มีเปอร์เซ็นต์การหดตัวน้อยกว่า เนื้อปลาบดแผ่นอบแห้งหนา 2.2 มม. อย่างมีนัยสำคัญทางสถิติ ($P<0.05$) เนื่องจากเนื้อปลาบดแผ่นอบแห้งหนา 1.3 มม. ใช้เวลาอบแห้งน้อย จึงได้รับความร้อนเป็นเวลาไม่นาน ทำให้มีการหดตัวน้อย ซึ่งผลดังกล่าวสอดคล้องกับงานวิจัยของภูมิใจ สถาโนม และคณะ (2556) ที่นี้ค่าความแข็งและความเห็นiyของเนื้อปลาบดแผ่นอบแห้งถูกเปรียบเทียบที่ระดับความหนาเดียวกันเท่านั้น

โดยรวมมากกว่า เนื้อปลาบดแผ่นที่อบแห้งด้วยไอน้ำร้อนiyดยิ่งตามด้วยอากาศร้อน (SSD+HAD) อย่างมีนัยสำคัญทางสถิติ ($P<0.05$) และยังพบว่า เนื้อปลาบดแผ่นที่อบแห้งด้วย HAD+SSD+HAD มีคะแนนทางด้านลักษณะ pragmatic เนื้อล้มผัล (ความกรอบ) และความชอบโดยรวมมากกว่าเนื้อปลาบดแผ่นที่อบแห้งด้วยไอน้ำร้อนiyดยิ่งเพียงอย่างเดียว (SSD) อย่างมีนัยสำคัญทางสถิติ ($P<0.05$)



เนื่องจากการอบแห้งด้วย HAD+SSD+HAD ทำให้เนื้อปลาบดแห่นอบแห้งที่ได้มีความกรุนสูงและพองตัวมากกว่า (จากการสังเกต) การอบแห้งด้วย SSD+HAD และ SSD อย่างไรก็ตาม คะแนนทางด้านกลิ่นรสของเนื้อปลาบดแห่น

ที่อบแห้งด้วย HAD+SSD+HAD, SSD+HAD และ SSD นี้ไม่มีความแตกต่างกันอย่างมีนัยสำคัญทางสถิติ ($P>0.05$) เนื่องจากมีการปรุงรஸเนื้อปลาบดแห่นด้วยสูตรเดียวกันตามหัวข้อที่ 2.2

ตารางที่ 3 ผลการประเมินคุณภาพของเนื้อปลาบดแห่นอบแห้งทางด้านประสิทธิภาพผัล

วิธีการอบแห้ง	ความหนา เนื้อปลา (มม.)	คุณลักษณะ				
		สี	ลักษณะ ปรากฏ	กลิ่นรส	เนื้อสัมผัส (ความกรอบ)	ความชอบ โดยรวม
ไอน้ำร้อนiyดยิ่งที่ 140 °ซ + อากาศร้อนที่ 110 °ซ	1.3	6.86 ± 0.97^b	6.08 ± 1.08^a	6.02 ± 0.82^a	3.62 ± 1.05^b	4.36 ± 0.69^b
	2.2	6.92 ± 1.08^b	6.14 ± 1.05^a	5.92 ± 0.99^a	2.16 ± 0.71^a	3.28 ± 0.45^a
อากาศร้อนที่ 110 °ซ + ไอน้ำร้อนiyดยิ่งที่ 220 °ซ + อากาศร้อนที่ 110 °ซ	1.3	7.12 ± 0.98^b	7.06 ± 1.04^b	6.24 ± 0.82^a	6.94 ± 1.02^d	6.84 ± 0.71^d
	2.2	7.26 ± 1.07^b	6.94 ± 0.91^b	6.16 ± 1.08^a	6.34 ± 0.92^c	6.38 ± 0.75^c
ไอน้ำร้อนiyดยิ่งที่ 140 °ซ	1.3	6.24 ± 0.98^a	5.94 ± 0.96^a	5.84 ± 0.89^a	3.42 ± 0.73^b	4.14 ± 0.76^b

- หมายเหตุ 1. อักระดับกันในคอลัมน์เดียวกันให้ความแตกต่างกันอย่างมีนัยสำคัญที่ระดับความเชื่อมั่น 95% ($P<0.05$)
 2. ระดับคะแนนของการประเมินคุณภาพทางด้านประสิทธิภาพผัล: 1 = ไม่ชอบมากที่สุด 2 = ไม่ชอบมาก 3 = ไม่ชอบปานกลาง 4 = ไม่ชอบเล็กน้อย 5 = เนย ๆ 6 = ชอบเล็กน้อย 7 = ชอบปานกลาง 8 = ชอบมาก และ 9 = ชอบมากที่สุด

4. สรุป

จากการศึกษาการเปลี่ยนแปลงความชื้นของเนื้อปลาบดแห่นในระหว่างการอบแห้งด้วยไอน้ำร้อนiyดยิ่งตามด้วยอากาศร้อน (SSD+HAD) และการอบแห้งด้วยอากาศร้อนตามด้วยไอน้ำร้อนiyดยิ่งและอากาศร้อน (HAD+SSD+HAD) พบว่า เนื้อปลาบดแห่นที่อบแห้งด้วย SSD+HAD ใช้เวลาอบแห้งใกล้เคียงกับเนื้อปลาบดแห่นที่อบแห้งด้วย HAD+SSD+HAD ความชื้นของผลิตภัณฑ์ลดลงได้ช้าเมื่อความหนาของเนื้อปลาบดเพิ่มขึ้น และจากการศึกษาคุณภาพของผลิตภัณฑ์หลังการอบแห้ง พบร่วง เนื้อปลาบดแห่นที่อบแห้งด้วย SSD+HAD มีความสว่าง สีแดง และสีเหลือง

มากกว่าเนื้อปลาบดแห่นที่อบแห้งด้วย HAD+SSD+HAD เนื้อปลาบดแห่นอบแห้งมีความสว่างและสีเหลืองน้อยลง แต่มีสีแดงมากขึ้นเมื่อความหนาของเนื้อปลาบดเพิ่มขึ้น และพบว่า ที่ระดับความหนา 1.3 มม. ความชื้นและความเหนียวของเนื้อปลาบดแห่นที่อบแห้งด้วย SSD+HAD และ HAD+SSD+HAD นี้ไม่มีความแตกต่างกันอย่างมีนัยสำคัญทางสถิติ แต่ที่ระดับความหนา 2.2 มม. เนื้อปลาบดแห่นที่อบแห้งด้วย SSD+HAD มีความชื้นและความเหนียวมากกว่า แต่มีเปอร์เซ็นต์การหดตัวน้อยกว่าเนื้อปลาบดแห่นที่อบแห้งด้วย HAD+SSD+HAD นอกจากนี้ ยังพบว่า เปอร์เซ็นต์การหดตัวของเนื้อปลาบดแห่นมีค่ามากขึ้นเมื่อ

ความหนาของเนื้อปลาบดเพิ่มขึ้น การอบแห้งด้วย HAD+SSD+HAD ทำให้เนื้อปลาบดแผ่นอบแห้งได้รับคุณคุณลักษณะทางด้านประสิทธิภาพสูงมากที่สุดเมื่อเทียบกับการอบแห้งด้วย SSD+HAD และ SSD เนื่องจากการอบแห้งด้วย HAD+SSD+HAD ทำให้เนื้อปลาบดแผ่นอบแห้งที่ได้มีความพรุนสูงและพองตัวมากกว่า (จากการสังเกต) อย่างไรก็ตาม งานวิจัยถัดไปควรศึกษาถึงระดับอุณหภูมิอบแห้งที่เหมาะสมซึ่งทำให้ผลิตภัณฑ์อบแห้งมีความกรอบและการพองตัวมากที่สุด

5. กิตติกรรมประกาศ

งานวิจัยนี้สำเร็จลุล่วงด้วยดีโดยการสนับสนุนของโครงการวิจัยภาคปฏิบัติและการพัฒนา (Project of Hands-on Research and Development) ของมหาวิทยาลัยเทคโนโลยีราชมงคลล้านนา ทั้งนี้ผู้วิจัยขอขอบพระคุณศาสตราจารย์ ดร.ณรงค์ฤทธิ์ สมบัติสมภพ ที่ได้ให้คำแนะนำในการทำวิจัยอย่างต่อเนื่อง และสถาบันวิจัยเทคโนโลยีหลังการเก็บเกี่ยว มหาวิทยาลัยเชียงใหม่ ที่ได้ให้ความอนุเคราะห์ใช้เครื่องวัดสีและเครื่องวัดเนื้อสัมผัส

6. เอกสารอ้างอิง

ณรงค์ อี้กิมบวน. 2544. การอบแห้งผลิตภัณฑ์ทางการเกษตรด้วยไอน้ำร้อนยอดยิ่ง. วิทยานิพนธ์วิทยาศาสตร์มหาบัณฑิตสาขาเทคโนโลยีพลังงาน. มหาวิทยาลัยเทคโนโลยีพระจอมเกล้าธนบุรี.

ภูมิใจ สาดโฉม, ປົງພລ ສມູທາຣິນທ່ຽ, ຮົນຕ ສວສດ්ເສ්ව, ທັກນະ ຄມທອງ, ແລະ ສມ່າດ ໂສກຮຣຸນຖ້ຽ. 2556. การอบแห้งเนื้อปลา

บດແຜ່ນດ້ວຍໄອນ້າຮັອນຍວດຍິ່ງ. ວາරສາຣ
ວິຊາກາຣແລະວິຊາ ມທຣ.ພຣະນຄຣ. 7(2).

ວັນຈີລີ ເພິ່ງພົກ. 2549. ກາຣອບແຫ່ງເນື້ອທຸມປະຈຸບສ
ດ້ວຍໄອນ້າຮັອນຍວດຍິ່ງຮ່ວມກັບປິ້ນຄວາມຮັອນ.
ວິທະຍານີພົນຮົວຢາສຕຣມຫາບັນທຶກສາ
ເທັກໂນໂລຢີພັດຈຳນ. ມາຫວິທາລັຍເທັກໂນໂລຢີ
ພຣະຈົມເກົ້າຮັນບຸຮີ.

ສຸດາທີພົມ ຄົກໍາ. 2549. ກາຣອບແຫ່ງເນື້ອໄກປະຈຸບສ
ດ້ວຍໄອນ້າຮັອນຍວດຍິ່ງຮ່ວມກັບປິ້ນຄວາມຮັອນ.
ວິທະຍານີພົນຮົວຢາສຕຣມຫາບັນທຶກສາ
ເທັກໂນໂລຢີພັດຈຳນ. ມາຫວິທາລັຍເທັກໂນໂລຢີ
ພຣະຈົມເກົ້າຮັນບຸຮີ.

ສຳນັກງານເຄຣະຊູກິຈກາຣເກະທຣ. ວັນທີສືບຄັນ 2
ມິຖຸນາຍນ 2556. ລົດຕິກາຣນຳເຂົາ-ສົງອກ
ສິນຄ້າທີ່ສຳຄັນ. [ອອນໄລນ໌]. ເຂົ້າສິ່ງໄດ້ຈາກ:
http://www.oae.go.th/oae_report/export_import/import.php

ສຳນັກໂຄງນາກາຣ ກຣມອນນາມຍ. ວັນທີສືບຄັນ 2
ມິຖຸນາຍນ 2556. ປລາ-ອາຫາຣຸ່ຊີວິດ.
[ອອນໄລນ໌]. ເຂົ້າສິ່ງໄດ້ຈາກ: nutrition.anamai.moph.go.th/temp/main/view.php?group=2&id=122

ສຸຮິພິບູງ ຫັບເຖິງ, ສມເກີຍຣຕີ ປັບປຸງວາງວາກ, ແລະ
ສມ່າດ ໂສກຮຣຸນຖ້ຽ. 2554. ຜລຂອງ
ອອລໂມຕິກທີ່ເມນັດ ແລະ ສກວະພັພິງຕ່ອ
ເວລາກາຣອບແຫ່ງແລະ ສມບັດທາງກາຍກາພ
ຂອງກັ້ວຍແຜ່ນ. ວາරສາຣວິທາສຕຣ
ກາຣເກະທຣ. 42(3): 569-572.

ອຳໄພສັກດີ ທຶນຍຸນມາ ແລະ ສັກຊ້ຍ ຈົກໍາ. 2553.
ກາຣອບແຫ່ງເງິນທີ່ເກະນິກສຸງຢາກສ່ວນ
ກັບອິນໄຣເຣດ. ວາරສາຣວິທາສຕຣນູ່ພາ.
15(2): 76-86.



- AOAC. 1995. Official Methods of Analysis of AOAC International. Virginia: Association of Official Analytical Chemists.
- Lawless, H.T. and Heymann, H. 2010. **Sensory Evaluation of Food: Principles and Practices**. New York: Springer.
- Nathakaranakule, A., Kraiwanchkul, W. and Soponronnarit, S. 2007. Comparative study of different combined superheated-steamdrying techniques for chicken meat. *J. Food Engineering*. 80(4): 1023-1030.
- Sa-adchom, P. 2010. Meat product drying usingsuperheated steam. Ph.D. Thesis. KingMongkut's University of Technology Thonburi.